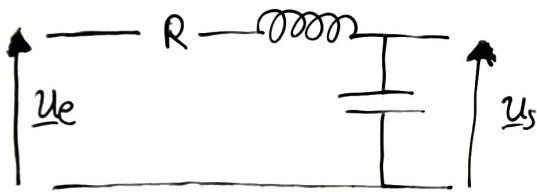


Dans tout ce paragraphe, les fonctions de transfert contiennent des polynômes de degré 1, on parle de filtre d'ordre 1.

II Filtre du second ordre

1 Tension aux bornes de THC : LPF



$$\underline{H} = \frac{U_s}{U_e} = \frac{\frac{1}{j\omega C}}{R + j\omega L + \frac{1}{j\omega C}}$$

$$= \frac{1}{1 - LC\omega^2 + jRC\omega}$$

$$\text{On pose } \begin{cases} \omega_0 := \frac{1}{\sqrt{LC}} \\ Q := \frac{L\omega_0}{R} = \frac{1}{RC\omega_0} \end{cases}$$

$$\text{car } L\omega_0 \cdot C\omega_0 = 1$$

$$\text{Parfois, on pose } Q = \frac{1}{2\sigma} = \frac{1}{2\xi} \quad (\text{en SI})$$

$$\underline{H} = \frac{1}{1 - \frac{\omega^2}{\omega_0^2} + j\frac{\omega}{Q\omega_0}} = \frac{1}{1 - \frac{\omega^2}{\omega_0^2} + 2\sigma j\frac{\omega}{\omega_0}}$$

↑ déjà vu en résonance

Etude asymptotique

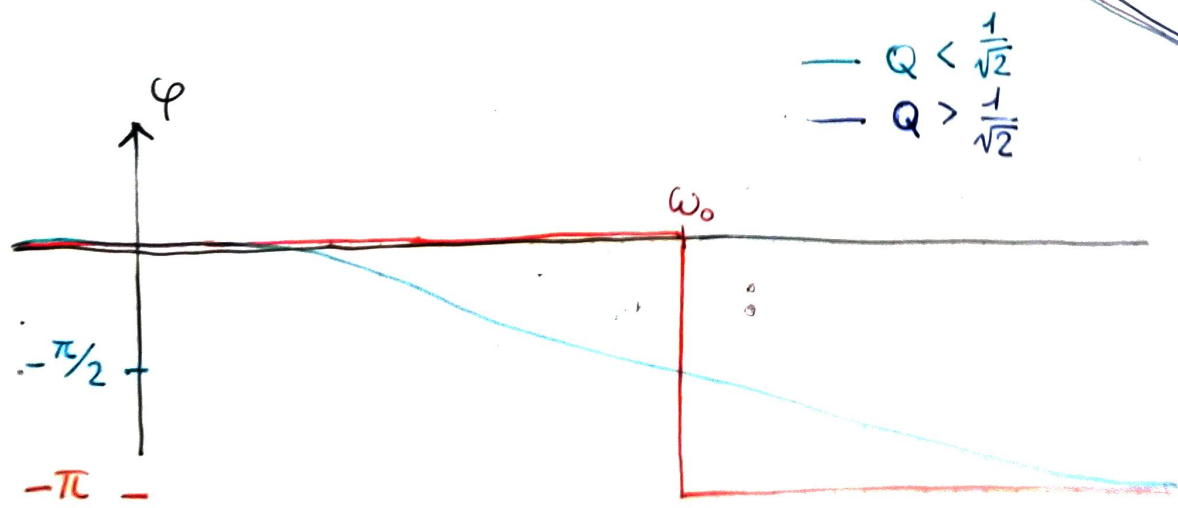
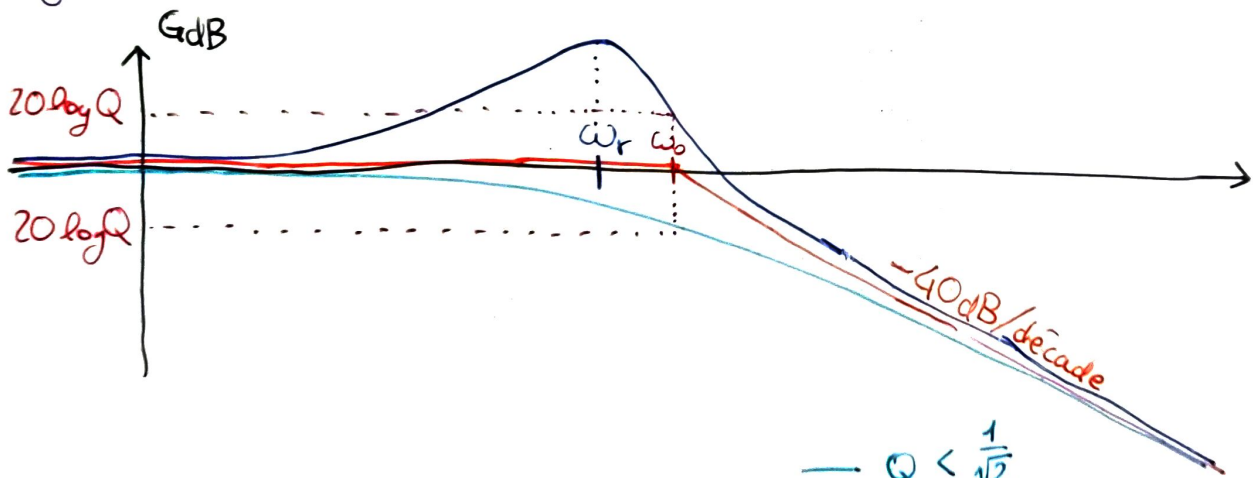
$$\omega \ll \omega_0: \underline{H} \sim 1 \Rightarrow \begin{cases} G_{dB} = 0 \text{ dB} \\ \varphi = 0 \text{ rad} \end{cases}$$

$$\omega = \omega_0: \underline{H} = \frac{Q}{j} \Rightarrow \begin{cases} G_{dB} = 20 \log Q \\ \varphi = -\frac{\pi}{2} \text{ (*)} \end{cases}$$

$$\omega \gg \omega_0: \underline{H} \sim \frac{1}{-j \frac{\omega^2}{\omega_0^2}} \Rightarrow \begin{cases} G_{dB} = -20 \log \left| -j \frac{\omega^2}{\omega_0^2} \right| = -20 \log_{10} \frac{\omega^2}{\omega_0^2} = -40 \log \frac{\omega}{\omega_0} \\ \varphi = \pm \frac{\pi}{4} \end{cases}$$

↑
pas de discont. dans le signe

Diagrammes de Bode



- $Q < \frac{1}{\sqrt{2}}$
- $Q > \frac{1}{\sqrt{2}}$

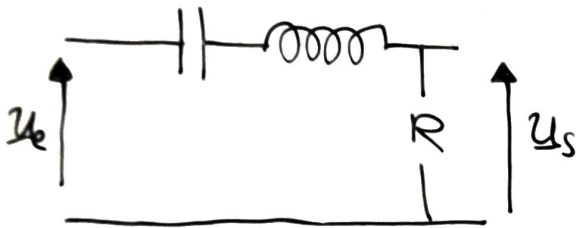
[poly]

La résonance existe si: $Q > \frac{1}{\sqrt{2}}$

$$\Leftrightarrow \frac{1}{2\xi} > \frac{1}{\sqrt{2}}$$

$$\Leftrightarrow \xi < \frac{\sqrt{2}}{2}$$

2 Tension aux bornes de R: Passe-bande



$$H = \frac{R}{R + \frac{1}{jL\omega} + jL\omega}$$

$$= \frac{1}{1 + j\frac{L\omega}{R} + \frac{1}{jRC\omega}}$$

$$= \frac{1}{1 + jQ\left(\frac{\omega}{\omega_0} - \frac{\omega_0}{\omega}\right)}$$

$$\text{avec } \begin{cases} \frac{L}{R} = \frac{Q}{\omega_0} \\ \frac{1}{RC} = Q\omega_0 \end{cases}$$

$$\odot: Q^2 = \frac{1}{R^2} \frac{L}{C} \Leftrightarrow Q = \frac{1}{R} \sqrt{\frac{L}{C}}$$

$$\odot: \omega_0^2 = \frac{1}{LC}$$

Etude asymptotique $H = \frac{1}{1 + jQ\left(\frac{\omega}{\omega_0} - \frac{\omega_0}{\omega}\right)}$

$\omega \ll \omega_0$ $\underline{H} \sim \frac{1}{-jQ \frac{\omega_0}{\omega}} \Rightarrow \begin{cases} G_{dB} = 20 \log_{10} \frac{\omega}{\omega_0} - 20 \log_{10} Q \\ \varphi = \frac{\pi}{2} \end{cases}$

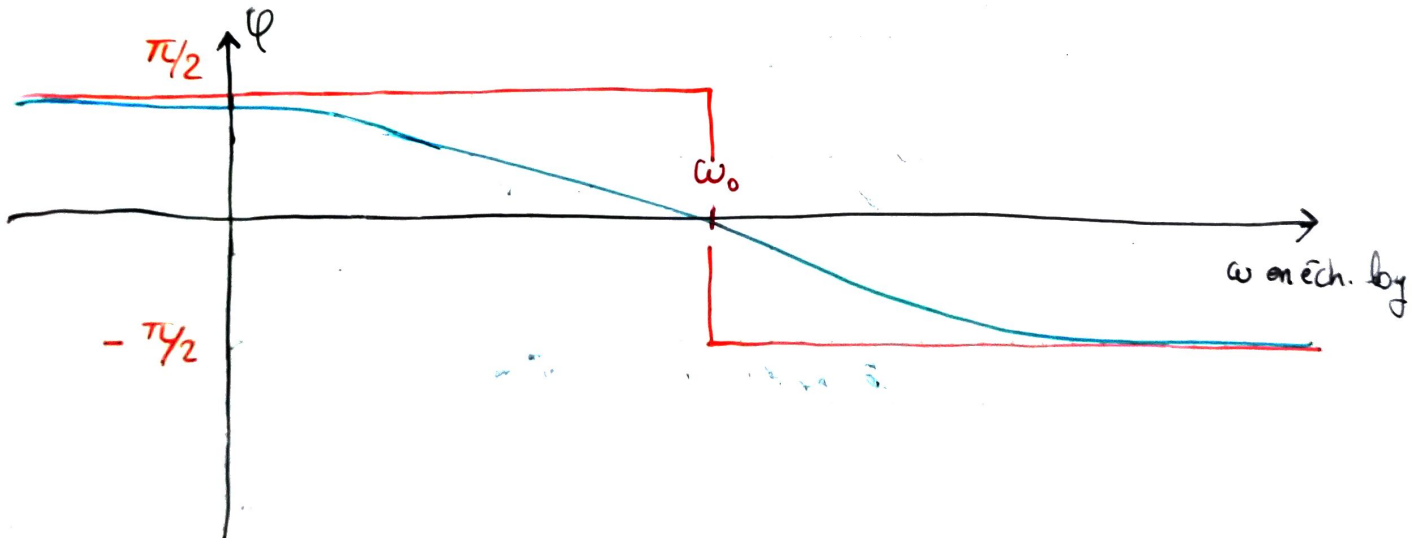
$|\underline{H}| = \frac{1}{Q \frac{\omega_0}{\omega}} = \frac{1}{Q} \cdot \frac{\omega}{\omega_0}$

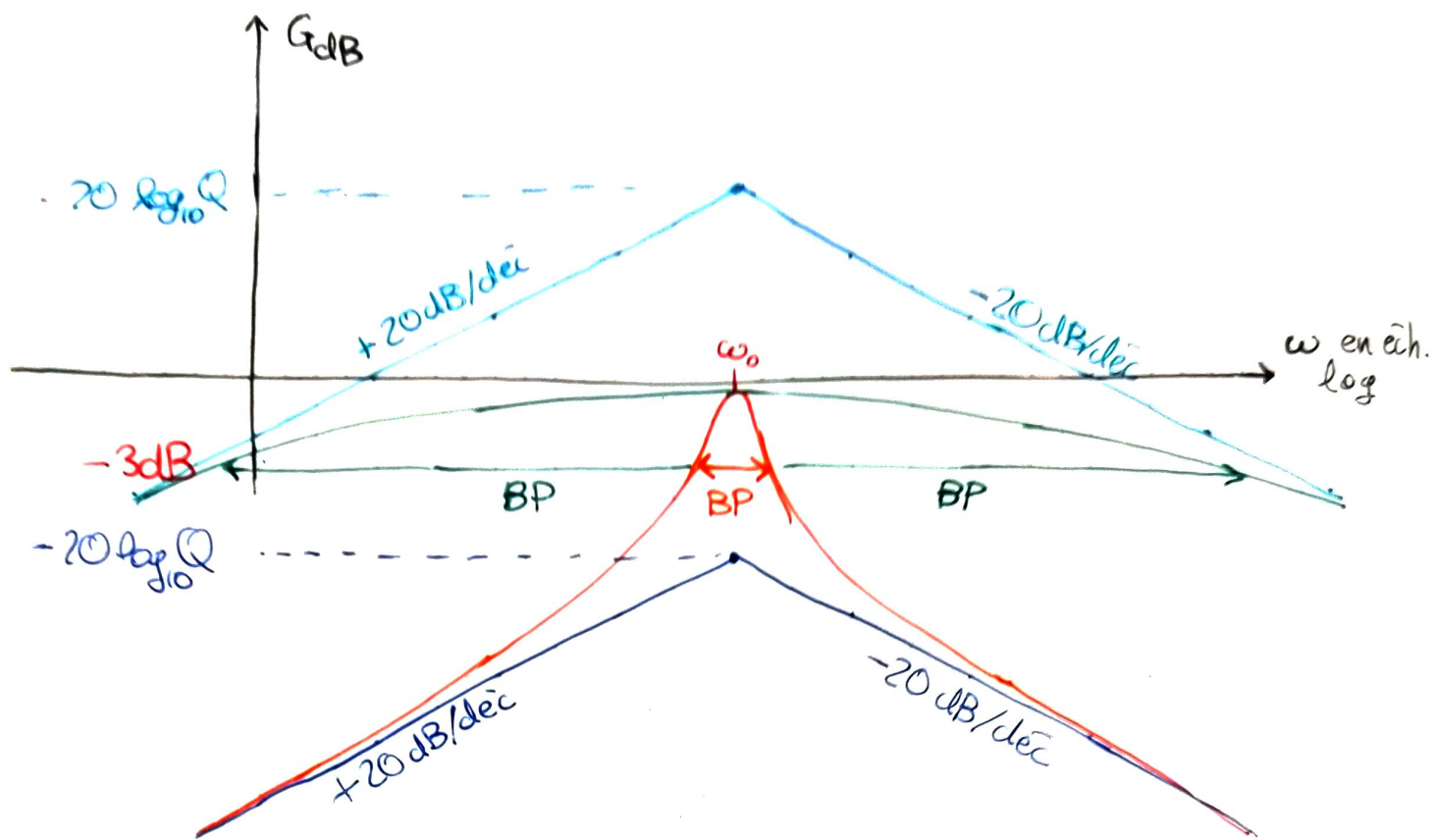
$\omega = \omega_0$ $\underline{H} = 1 \Rightarrow \begin{cases} G_{dB} = 0 \\ \varphi = 0 \end{cases}$

$\omega \gg \omega_0$ $\underline{H} \sim \frac{1}{jQ \frac{\omega}{\omega_0}} \Rightarrow \begin{cases} G_{dB} = -20 \log_{10} \frac{\omega}{\omega_0} - 20 \log_{10} Q \\ \varphi = -\frac{\pi}{2} \end{cases}$

$|\underline{H}| = \frac{1}{Q \frac{\omega}{\omega_0}} = \frac{1}{Q} \cdot \frac{\omega_0}{\omega}$

Diagrammes de Bode





III Propriétés des filtres

1 Caractéristique importante du filtre: pente

pente $+20 \text{ dB/déc} \Rightarrow$ dérivateur

- passe-haut @ BF
- passe-bande @ BF

pente $-20 \text{ dB/déc} \Rightarrow$ intégrateur

- passe-bas @ HF
- passe-bande @ HF

pente $+40 \text{ dB/déc} (\Rightarrow$ double dérivateur)

- passe-haut, 2nd ordre @ BF

pente $-40 \text{ dB/déc} (\Rightarrow$ double intégrateur)

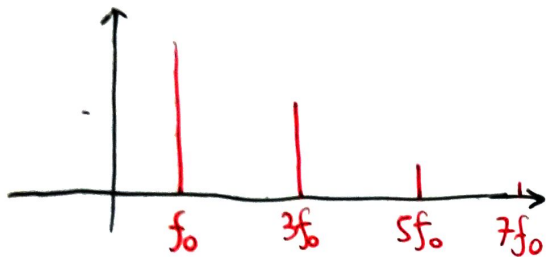
- passe-bas, 2nd ordre @ HF

2. Filtre et spectre :

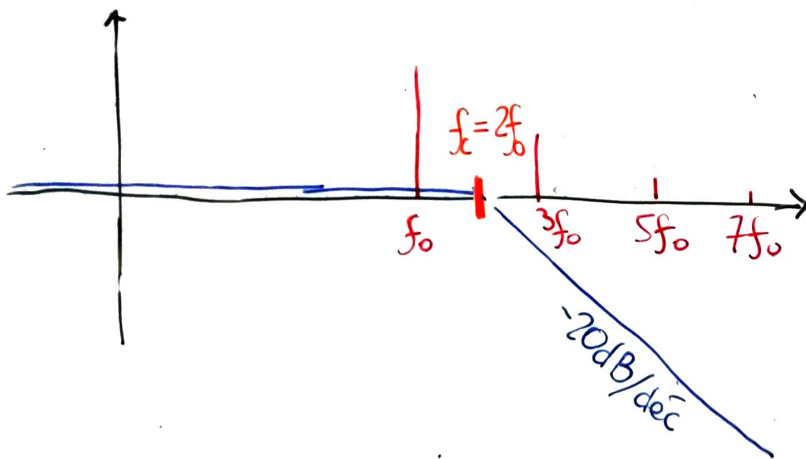
eg créneau de fréquence f_0



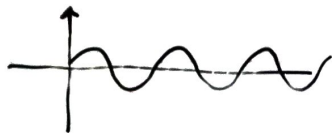
$$u_e(t) = \frac{4E}{\pi} \left(\underbrace{\sin(2\pi f_0 t)}_{\text{fondamental}} + \underbrace{\frac{\sin(2\pi 3f_0 t)}{3} + \frac{\sin(2\pi 5f_0 t)}{5}}_{\text{harmoniques}} + \dots \right)$$



Si on envoie ce signal dans un filtre ^{LPF} à fréquence de coupure $f_c = 2f_0$



sortie:



Si on veut sélectionner l'harmonique $f_R = k f_0$, on envoie le signal d'un passe-bande de fréq $f_c = f_R$.

IV Valeur efficace d'un signal

Soit le signal $s(t)$

la valeur efficace S_{eff} de ce signal,
RMS

$$S_{\text{eff}} = \sqrt{\frac{1}{T} \int_0^T s^2(t) dt}$$

si le signal est sinusoïdal,

$$s(t) = S_m \cos(\omega t + \varphi)$$

$$S_{\text{eff}} = \sqrt{\frac{1}{T} \int_0^T S_m^2 \cos^2(\omega t + \varphi) dt}$$

$$= \sqrt{\frac{1}{T} S_m^2 \int_0^T \frac{1 + \cos(2\omega t + 2\varphi)}{2} dt}$$

$$= \sqrt{\frac{1}{2T} S_m^2 \left[t + \frac{\sin(2\omega t + 2\varphi)}{2\omega} \right]_{t=0}^T}$$

$$= \sqrt{\frac{1}{2T} S_m^2 (T - 0)}$$

$$= \frac{S_m}{\sqrt{2}}$$

$$\sin(\underbrace{2\omega T + 2\varphi}_{2\omega \frac{2\pi}{\omega}}) - \sin(2\varphi)$$

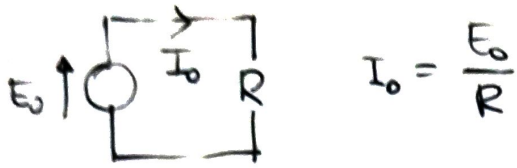
$$\frac{2\omega \frac{2\pi}{\omega}}{4\pi}$$

par 2π -périodicité de \sin

$$\sin(\dots) - \sin(\dots) = 0$$

interprétation

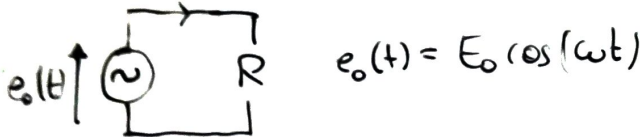
- en régime continu.



La puissance délivrée par le générateur et reçue par la résistance: $P = E_0 I_0 = \frac{E_0^2}{R}$

- en RSF

$$i_0(t) = \frac{E_0}{R} \cos(\omega t)$$



La puissance délivrée par le générateur:

$$\begin{aligned} p(t) &= e_0(t) \cdot i_0(t) \\ &= \frac{E_0^2}{R} \cos^2(\omega t) \end{aligned}$$

En moyenne:

$$\begin{aligned} P_{\text{moy}} &= \frac{1}{T} \int_0^T p(t) dt = \frac{1}{T} \int_0^T \frac{E_0^2}{R} \cos^2(\omega t) dt \\ &= \frac{1}{T} \frac{E_0^2}{R} \cdot \frac{T}{2} \\ &= \frac{E_0^2}{2R} \end{aligned}$$

On obtiendra la même puissance qu'en continu si le générateur possède une valeur max = $E_0 \cdot \sqrt{2}$

Conclusion

Un signal sinusoïdal de valeur maximale $E_0\sqrt{2}$ (donc de valeur efficace E_0) est aussi efficace en puissance qu'un sig. constant de valeur E_0

V Le plus important !!!! 1

$$\underline{H} = \frac{\underline{u}_s}{\underline{u}_e}$$

→ $|\cdot| \Rightarrow$ rapport des amplitudes

→ $\arg \Rightarrow \varphi_s - \varphi_e$ déphasage de s par rapport à e

Si: $u_e(t) = U_{em} \cos(\omega t + \varphi_e)$

$$u_s(t) = \underbrace{U_{em} \cdot |H|(\omega)}_{U_{sm}} \cos(\omega t + \varphi_e + \underbrace{\arg(H)(\omega)}_{\varphi_s})$$

Le filtre modifie l'amplitude et le déphasage